

## ОБРАЗОВАНИЕ ЭЛЕКТРОННО-ДЫРОЧНЫХ ПАР И ЛАВИННЫЙ ПРОБОЙ $p-n$ -ПЕРЕХОДА ПРИ ГРАДИЕНТАХ ДРЕЙФОВЫХ СКОРОСТЕЙ ЭЛЕКТРОНОВ И ДЫРОК

Добровольский В. Н., Грязнов С. Б.

При ударной ионизации и в ее отсутствие рассмотрено движение электронов и дырок через область пространственного заряда  $p-n$ -перехода в условиях, когда их дрейфовые скорости изменяются вдоль направления дрейфа не только из-за неоднородности электрического поля, а еще по какой-либо причине (например, из-за неоднородного разогрева полупроводника). Перераспределение электронов и дырок, вызываемое в этих условиях градиентами скоростей, описано путем введения темпа образования (исчезновения) электронно-дырочных пар.

Показано, что в зависимости от направления градиенты могут как увеличивать ток ударной ионизации при лавинном пробое, так и уменьшать его вплоть до нуля, прекращая лавинный пробой. Возможен пробой в отсутствие ударной ионизации.

Полученные результаты согласуются с нашими экспериментами. Обсуждающиеся эффекты могут возникать в областях пространственного заряда разной природы.

В экспериментах [1] обнаружено, что неоднородный разогрев области пространственного заряда (ОПЗ)  $p-n$ -перехода может как увеличивать, так и уменьшать ток ударной ионизации при лавинном пробое и изменять напряжение пробоя. Существующая теория ударной ионизации (см., например, [2]) не объясняет полученные результаты. Это стимулировало построение изложенной в настоящей статье теории. Ее существенным моментом является введение темпа (скорости) образования (разрушения) в ОПЗ электронно-дырочных пар в случае, если дрейфовые скорости электронов и дырок изменяются вдоль направления дрейфа не только из-за неоднородности электрического поля, а еще по какой-либо причине. Механизм образования пар подобен механизму  $b$ -дрейфа в нейтральном объеме образца [3, 4].

Теория объясняет эксперименты [1] и, кроме того, предсказывает, с одной стороны, возможность пробоя (рост тока при неизменном напряжении) даже в отсутствие ударной ионизации, а с другой — прекращение вызванного ударной ионизацией лавинного пробоя (при определенном направлении градиентов скоростей).

### 1. Основные уравнения

Рассмотрим движение электронов и дырок через ОПЗ  $p-n$ -перехода (рис. 1, а) в условиях, когда, помимо неоднородности электрического поля  $E$ , есть еще какая-либо причина изменения с координатой  $x$  дрейфовых скоростей электронов  $v_n$  и дырок  $v_p$ . Например,  $p-n$ -переход находится в неоднородном температурном или магнитном поле, деформирован и т. д. Таким образом,  $v_n = v_n(E(x), x)$ ,  $v_p = v_p(E(x), x)$ . Величина напряженности электрического поля может достигать значений, достаточных для ударной ионизации.

Воспользуемся уравнениями сохранения электронов, дырок и уравнением Пуассона:

$$-\frac{1}{e} \frac{dj_n}{dx} = g, \quad (1)$$

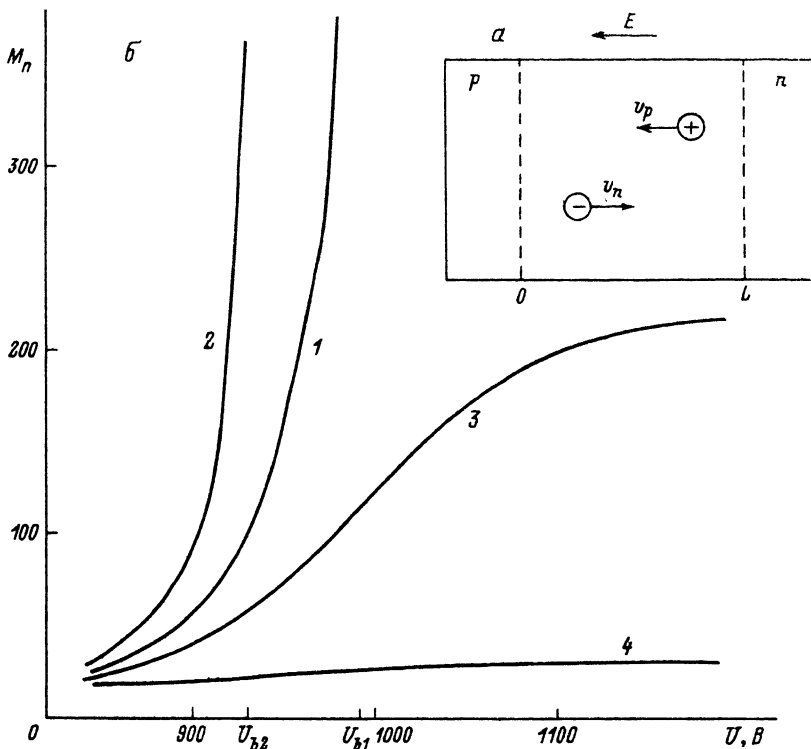


Рис. 1.

а — p-n-переход, б — зависимости  $M_n$  от  $U$ ;  $dT/dx$ , К/см: 1 — 0, 2 — 900, 3 — 900, 4 —  $10^4$ ;  $N = 1.7 \cdot 10^{14}$  см $^{-3}$ .

$$-\frac{1}{e} \frac{dj_p}{dx} = g, \quad (2)$$

$$\kappa \frac{dE}{dx} = 4\pi\rho, \quad (3)$$

где  $e$  — заряд электрона,  $j_n = -en v_n$  и  $j_p = ep v_p$  — плотности токов электронов и дырок,  $n$  и  $p$  — их концентрации,  $g$  — темп генерации (рекомбинации) электронно-дырочных пар,  $\kappa$  — диэлектрическая проницаемость,  $\rho = e(N + p - n)$  — плотность заряда,  $N$  — разность концентраций полностью ионизированных доноров и акцепторов. При изображенной на рис. 1 ориентации оси координат  $0x$  и тока, когда  $j_n, j_p < 0$ ,

$$g = g_0 - \frac{1}{e} (\alpha_{nE} j_n + \alpha_{pE} j_p), \quad (4)$$

где  $\alpha_{nE}(E)$  и  $\alpha_{pE}(E)$  — коэффициенты ударной ионизации соответственно электронов и дырок [2], а  $g_0$  — разность между темпом их генерации другими (не ударной ионизацией) механизмами (тепловыми забросами, светом и т. д.) и темпом рекомбинации.

Продифференцировав плотность заряда  $\rho = e \left( N + \frac{j_n}{ev_n} + \frac{j_p}{ev_p} \right)$ , воспользуемся уравнениями (1) — (3), а также соотношениями

$$\frac{dv_n}{dx} = \frac{\rho}{en\tau_{xn}} + \frac{\partial v_n}{\partial x}, \quad (5)$$

$$\frac{dv_p}{dx} = \frac{\rho}{ep\tau_{xp}} + \frac{\partial v_p}{\partial x},$$

где  $\tau_{xn} = \kappa / (4\pi e \partial v_n / \partial E \cdot n)$ ;  $\tau_{xp} = \kappa / (4\pi e \partial v_p / \partial E \cdot p)$ . Модули  $|\tau_{xn}|$  и  $|\tau_{xp}|$  — времена диэлектрической релаксации заряда из-за перемещения соответственно дырок и электронов. После выкладок получаем

$$\frac{v_n v_p}{e(v_n - v_p)} \frac{d\left(\frac{\kappa}{4\pi} \frac{dE}{dx} - eN\right)}{dx} - r = g_v + \frac{1}{e} \cdot \frac{dj_p}{dx}, \quad (6)$$

где

$$r = \frac{v_p v_n}{e(v_p - v_n)} \rho \left( \frac{1}{v_p \tau_{xp}} - \frac{1}{v_n \tau_{xn}} \right),$$

$$g_v = \frac{1}{e} (\alpha_{v_n} j_n + \alpha_{v_p} j_p),$$

$$\alpha_{v_n} = \frac{v_p}{v_p - v_n} \frac{1}{v_n} \frac{\partial v_n}{\partial x},$$

$$\alpha_{v_p} = \frac{v_n}{v_p - v_n} \frac{1}{v_p} \frac{\partial v_p}{\partial x}. \quad (7)$$

Записав входящее в первый член уравнения (6) выражение  $(\kappa/4\pi) \cdot (dE/dx) - eN$  как  $(p-n)$ , видим, что этот член описывает дрейф электронов и дырок в ОПЗ,  $r$  — изменение их концентрации из-за диэлектрической релаксации заряда,  $(dj_p/dx)/e$ , согласно (2), — генерацию электронно-дырочных пар. Смысл члена  $g_v$  выясним далее.

Уравнения (1)–(3) либо два первых (6) в принципе позволяют найти зависимость плотности тока  $j$  через образец от падающего на нем напряжения  $U$  — вольт-амперную характеристику (ВАХ) образца. Последовательная процедура при вычислениях ВАХ может быть такой. Из совместного решения названных уравнений находится  $E=f(j)$ , а затем интегрированием  $E$  по длине образца определяется связь  $j$  с  $u$ .

При  $\partial u_{n,p}/\partial x = 0$  (когда  $g_v = 0$ ) и малых  $j_n, j_p$  (когда малы  $n$  и  $p$ ) задачу упрощают [2]. В плотности заряда  $\rho$ , входящей в уравнение Пуассона (3), пренебрегают зарядами электронов ( $j_n/v_n$ ) и дырок ( $j_p/v_p$ ). Тогда решение только одного уравнения (3) дает связь  $E$  с  $x$ , в которую входит  $u$ . Далее решают (1) и (2) и, подставив вместо координаты  $x$  связанную с ней напряженность  $E$ , зависящую от  $u$ , получают выражение для ВАХ.

Пренебрежение зарядами электронов и дырок в уравнении Пуассона (3), если использовать вместо него уравнение (6), эквивалентно пренебрежению в последнем членами  $r$ , т. е. диэлектрической релаксацией, и  $(dj_p/dx)/e$ , т. е. генерацией электронно-дырочных пар. При ударной ионизации  $j$  резко зависит от  $U$ , и малое изменение  $E$  может приводить к большому изменению  $j$ . Однако пренебрежение диэлектрической релаксацией возможно, так как времена  $|\tau_{xn}|$ ,  $|\tau_{xp}|$  велики по сравнению с временами пролета через ОПЗ электронов и дырок. С другой стороны, генерация электронно-дырочных пар существенна лишь в областях большой напряженности поля, составляющих малую часть всей ОПЗ.

Поэтому точность в определении  $E$  в этой части ОПЗ, обусловленная пренебрежением  $(dj_p/dx)/e$ , слабо сказывается на  $U$ .

Ситуация изменяется при  $\partial v_{n,p}/\partial x \neq 0$ , когда в правой части уравнения (6) появляется член  $g_v$  (7). Он может быть отличен от нуля во всей ОПЗ, и так было в условиях экспериментов [1]. Поэтому даже при своей малой величине член  $g_v$  может изменить  $E$  во всей ОПЗ и заметно сказаться на  $U$ , а из-за резкой зависимости  $j$  от  $U$  может значительно изменить ток. При вычислении в этих условиях ВАХ воспользуемся следующими соображениями.

При  $\partial v_{n,p}/\partial x = 0$ , согласно (2) и (7), левая часть уравнения (6) равна  $g$ . Смысл его такой: в каждой точке темп генерации электронов и дырок равен скорости их ухода путем дрейфа и диэлектрической релаксации. Причем если времена пролета электронов и дырок через ОПЗ много меньше времен диэлектрической релаксации, что обычно имеет место, то доминирует первый процесс.

Градиенты  $\partial v_{n,p}/\partial x$  приводят к появлению в уравнении (6) нового члена  $g_v$ , что принципиально, и к некоторому изменению всех остальных членов из-за обуславливающей эти градиенты зависимости скоростей  $v_{n,p}$  от  $x$ . Далее в уравнении (6) будем учитывать член  $g_v$ , но, полагая  $\partial v_{n,p}/\partial x$  малыми, во всех остальных членах уравнения будем пренебрегать связанными с этими градиентами зависимостями  $v_{n,p}$  от  $x$ .

Характерные времена изменения в ОПЗ концентраций электронов из-за  $\partial v_n/\partial x$  и дырок из-за  $\partial v_p/\partial x$  соответственно порядка  $(\partial v_n/\partial x)^{-1}$  и  $(\partial v_p/\partial x)^{-1}$ . Ограничимся рассмотрением условий, когда эти времена много больше времен пролета электронов и дырок через ОПЗ. Это позволяет считать, что  $\partial v_{n,p}/\partial x$  не изменяют функциональной связи  $g$  с темпом выноса электронов и дырок из ОПЗ. Поэтому будем полагать, что при  $g_v \neq 0$ , как и при  $g_v = 0$ , левая часть уравнения (6) равна  $g$ . В таком приближении вместо уравнений сохранения (1) и (2) используем уравнения

$$-\frac{1}{e} \frac{dj_n}{dx} = g - g_v, \quad (8)$$

$$\frac{1}{e} \frac{dj_p}{dx} = g - g_v,$$

которые будем решать совместно с уравнением Пуассона (3). Причем в рассматриваемом дальше случае малых концентраций в ОПЗ электронов и дырок зарядами последних в уравнении Пуассона будем пренебрегать.

## 2. Образование электронно-дырочных пар

С целью выявления физического смысла члена  $g_v$  проведем следующее рассмотрение.

Разделим находящиеся в ОПЗ электроны на сколь угодно малой длины пакеты, движущиеся друг за другом вдоль оси  $Ox$ . Проследим за движением отдельного пакета. Темп (скорость) изменения в нем концентрации электронов во времени  $t$  составляет  $(dn/dt)|_{v_n} = v_n (dn/dx)$ . Используя уравнение сохранения (1), запишем равенство  $(dn/dt)|_{v_n} = g - n (dv_n/dx)$ . Первое слагаемое описывает изменение концентрации электронов из-за генерации электронно-дырочных пар, второе обусловлено деформацией (сжатием, растяжением) пакета в неоднородном поле скоростей  $v_n(x)$ .

Дырки в той или иной степени нейтрализуют заряд, находящийся в пакете электронов. Этот процесс можно рассматривать как образование (разрушение) электронно-дырочных пар, добавочное по отношению к их генерации с темпом

$g$ . Обозначим суммарный темп изменения концентрации пар в движущемся пакете как  $g_n$ . Тогда темп изменения концентрации электронов, не имеющих парных дырок, равен  $v_n (dn/dx) - g_n$ . При дрейфе пакетов электронов через участок от  $x$  до  $x + dx$  концентрация этих электронов изменяется в них на  $(v_n \times (dn/dx) - g_n) (dx/v_n)$ , откуда следует, что величина  $(dn/dx - g_n/v_n)$  — значение в точке  $x$  темпа изменений в проходящих через нее пакетах концентрации электронов, не имеющих парных дырок.

Аналогично в дырочных пакетах, движущихся по ОПЗ со скоростями  $v_p(x)$ , темп изменения концентрации дырок, не имеющих парных электронов, в фиксированной точке  $x$  равен  $(dp/dx - g_p/v_p)$ , где  $g_p$  — суммарный темп изменения концентрации электронно-дырочных пар в дырочных пакетах.

В системе координат, движущейся относительно образца со скоростью  $v_n(x)$ , пакет электронов, перемещающийся по образцу с такой же скоростью, неподвижен. Переходя от движущейся системы координат, в которой темп изменения концентрации электронно-дырочных пар  $g_n$ , к неподвижной относительно образца системе координат, получаем, что в последней темп возникновения электронно-дырочных пар записывается как

$$G = g_n - v_n \frac{dP}{dx}, \quad (9)$$

где  $P$  — концентрация пар. Аналогично для случая дырочных пакетов

$$G = g_p - v_p \frac{dP}{dx}. \quad (10)$$

Из (8)—(10) следует

$$G = \frac{v_p v_n}{v_p - v_n} \cdot \left( \frac{g_p}{v_p} - \frac{g_n}{v_n} \right). \quad (11)$$

Из-за взаимодействия электронов и дырок темпы изменения их концентраций между собой связаны. Выберем эту связь такой, чтобы проводимое рассмотрение, в котором используются представления об электронно-дырочных парах, приводило к уравнению (6), непосредственно следующему из основных уравнений (1)—(3) теории. Это имеет место при

$$\frac{dn}{dx} - \frac{g_n}{v_n} = \frac{dp}{dx} - \frac{g_p}{v_p}. \quad (12)$$

Действительно, с одной стороны, из (11), (12) и уравнения (3) следует, что  $G$  равно первому члену в левой части (6), а с другой — из (11), (12), (1), (2) и (5) получаем  $G = g + r + g_v$ . Последнее равенство позволяет интерпретировать  $r$  и  $g_v$  как компоненты темпа образования (разрушения) электронно-дырочных пар  $G$ , которые возникают из зависимостей  $v_n, v_p$  от  $x$ . Причем компонента  $r$  обусловлена первыми, а  $g_v$  — вторыми слагаемыми в выражениях (5) для  $dv_n, dp/dx$ .

Подчеркнем разницу между  $g$ , с одной стороны, и величинами  $r$  и  $g_v$ , с другой. Величина  $g$  — темп образования (исчезновения) электронно-дырочных пар из-за генерации (рекомбинации) в ОПЗ электронов и дырок в равных количествах (парами). Величины  $r$  и  $g_v$  — темпы образования (разрушения) электронно-дырочных пар в результате перераспределения в ОПЗ электронов и дырок, генерируемых с темпом  $g$  и проходящих через границы ОПЗ. Различие между этими двумя механизмами образования пар подобно различию, наблюдаемому в нейтральном полупроводнике, например, при фотоинжекции пар и

их инъекции нейтральный объем током, протекающим в прямом направлении через  $p-n$ -переход.

### 3. Вольт-амперные характеристики $p-n$ -перехода

Из (4), (7) и (8) получаем

$$\frac{dj_p}{dx} = -\alpha_n j_n - \alpha_p j_p + e g_0, \quad (13)$$

$$\alpha_n = \alpha_{nE} + \alpha_{v_n}, \quad \alpha_p = \alpha_{pE} + \alpha_{v_p}.$$

Уравнение (13) формально совпадает с уравнением, описывающим ударную ионизацию электронов и дырок [2], отличаясь двумя важными моментами.

Если в случае ударной ионизации  $\alpha_n, \alpha_p$  отличны от нуля только в части ОПЗ, где напряженность электрического поля наибольшая, то в рассматриваемом случае они могут быть отличными от нуля во всей ОПЗ.

Значения  $\alpha_n, \alpha_p$  могут быть как положительными, так и отрицательными.

При замене в уравнении (13), согласно (8), производной  $dj_p/dx$  на  $-dj_n/dx$  получаем иную форму записи этого уравнения. Опираясь на формальное совпадение уравнения (13) с уравнением ударной ионизации, результаты, полученные при решении последнего, используем далее при решении уравнения (13).

Будем рассматривать  $p-n$ -переход, к которому напряжение  $U$  приложено в обратном направлении. Показанные на рис. 1, а направления напряженности электрического поля и скоростей электронов и дырок соответствуют именно такому включению напряжения.

Введем в теорию поток электронов  $-j_{n0}/e$ , втекающий в ОПЗ из  $p$ -области через границу  $x=0$ , и поток дырок  $j_{p0}/e$ , втекающий из  $n$ -области через границу  $x=L$ , и запишем граничные условия уравнения (13) в виде

$$j_n \Big|_{x=0} = j_{n0},$$

$$j_p \Big|_{x=0} = j - j_{p0}, \quad (14)$$

$$j_p \Big|_{x=L} = j_{p0},$$

$$j_n \Big|_{x=L} = j - j_{p0},$$

где  $j = j_p + j_n$  — полный ток. Интегрирование уравнения (13) при этих граничных условиях дает

$$j = M_n \cdot I_n, \quad (15)$$

$$M_n = \left[ 1 - \int_0^L \alpha_n \exp \left( \int_0^x (\alpha_p - \alpha_n) dx' \right) dx \right]^{-1}, \quad (16)$$

$$I_n = j_{n0} + j_{p0} \exp \left( \int_0^L (\alpha_p - \alpha_n) dx \right) - e \int_0^L g_0 \exp \left( \int_0^x (\alpha_p - \alpha_n) dx' \right) dx.$$

При интегрировании уравнения, получающегося из (13) заменой  $dj_p/dx$  на  $-dj_n/dx$ , находим

где выражения для  $M_p$  и  $I_p$  получаются заменой в (16) индексов  $n$  на  $p$ , и наоборот, а также заменой пределов интегрирования  $0 \div x$  на  $x \div L$ .

Выражения (15)–(17) отличаются от подобных формул для тока в теории ударной ионизации в  $p$ – $n$ -переходах [2] смыслом и выражениями для величин  $\alpha_{n, p}$ . В отсутствие  $\partial v_{n, p} / \partial x$  величины  $m_{n, p}$  – коэффициенты умножения соответственно электронов и дырок.

Для одинаковых  $U$  значения токов, определенные по формулам (15) и (17), совпадают.

При вычислении по формулам (15) и (16) ВАХ для определения  $I_n$  нужно знать величины  $j_{n0}$ ,  $j_{p0}$ ,  $g_0$ . С другой стороны, если по сравнению с  $M_n$  величина  $I_n$  изменяется медленно, например, когда реализуется лавинный пробой (см. далее), то при построении ВАХ величину  $I_n$  можно считать постоянной. Тогда зависимость  $M_n$  от  $U$  представляет собой ВАХ, в которой ток нормирован на  $I_n$ . Так же обстоит дело и при построении ВАХ по формуле (17). При этом поведение  $j$  с изменением  $U$  (ВАХ с ненормированным током) лучше описывается более резкой из двух зависимостей  $M_n(U)$  и  $M_p(U)$ . Это обстоятельство учитывалось в работе [1] при сравнении теоретических и экспериментальных ВАХ.

Далее будем строить зависимость  $M_{n, p}$  от  $U$ .

#### 4. Неоднородный разогрев $p$ – $n$ -перехода

Полученные формулы пригодны для описания влияния на ток различных факторов, изменяющих вдоль ОПЗ дрейфовые скорости электронов и дырок. В связи с экспериментами [1] в качестве такого фактора выберем неоднородный разогрев решетки кристалла. В этом случае

$$\frac{\partial v_{n, p}}{\partial x} = \frac{\partial v_{n, p}}{\partial T} \frac{dT}{dx}, \quad (18)$$

где  $T$  – температура решетки.  $p$ – $n$ -Переход будем полагать резким, с сильно различающимися проводимостями  $p$ - и  $n$ -областей. Перейдем в интегралах (16) к интегрированию по  $E$ . Для этого воспользуемся уравнением Пуассона (3). Рассмотрим случай  $p, n \ll N$  и определим связь  $x$  с  $E$  из решения уравнения (3) при  $p-n=0$  и  $E|_{x=0} = E|_{x=L} = 0$ .

Из выкладок следует, что в интегралах (16) можно пренебречь вкладом интегрирования по низкоомной (с большим значением  $N$ ) части ОПЗ. При высокоомной  $p$ -области

$$M_n = \left[ 1 - K \int_0^{|E_m|} \alpha_n \exp \left( K \int_0^{|E|} (\alpha_p - \alpha_n) d|E|' \right) d|E| \right]^{-1}, \quad (19)$$

где  $K = \kappa / (4\pi eN)$ ,  $|E_m| = (2U/K)^{1/2}$  – максимальное значение поля в  $p$ – $n$ -переходе. При высокоомной  $n$ -области

$$M_n = \left[ 1 - K \int_0^{|E_m|} \alpha_n \exp \left( K \int_{|E|}^{|E_m|} (\alpha_p - \alpha_n) d|E|' \right) d|E| \right]^{-1}. \quad (20)$$

Формулы для  $M_p$ , как и ранее, получаются заменой соответственно в (19) и (20) индексов  $n$  на  $p$ , и наоборот, а также пределов интегрирования  $0 \div |E|$  на  $|E| \div |E_m|$ .

На рис. 1, б приведены зависимости  $M_n$  от  $U$  при разных  $dT/dx = \text{const}$ . Они вычислены по формуле (19) с  $\alpha_n$  и  $\alpha_p$ , определяемыми выражениями (7), (13) и (18), для случая кремния. При этом использовались реализующиеся в кремнии следующие эмпирические зависимости:

$$\alpha_{nE, pE} = A_{n, p} \cdot \exp\left(-\frac{a_{n, p}}{|E|}\right), \quad \text{см}^{-1}, \quad (21)$$

$$-\frac{v_n}{v_p} = C - B \cdot \exp\left(-\frac{b}{|E|}\right), \quad (22)$$

$$-\frac{1}{v_{n, p}} \cdot \frac{\partial v_{n, p}}{\partial T} = [D_{n, p} + F_{n, p} \cdot \exp(-f_{n, p} \cdot |E|)]^{-1}. \quad (23)$$

Формула (21) взята из [2], (22) получена обработкой данных, приведенных в [2, 5], (23) — из [5, 6] (подставляется  $|E|$ , В/см). Значения коэффициентов таковы:  $A_{n, p} \cdot 10^{-6} = 0.75, 0.725$ ;  $a_{n, p} \cdot 10^{-6} = 1.16, 2.2$ ;  $C = 2.7, B = 1.7, b = 1.12 \cdot 10^4$ ;  $D_{n, p} = 0.95 \cdot 10^{-3}$ ;  $F_{n, p} \cdot 10^3 = 7.7, 6.7$ ;  $f_{n, p} \cdot 10^4 = 1.8, 0.37$  (если приведены два значения коэффициента, то первое относится к электронам, а второе — к дыркам).

В случае  $dT/dx = 0$  (рис. 1, б, кривая 1) при  $U \rightarrow U_{b1}$ , значение которого указано на рисунке,  $M_n \rightarrow \infty$ . Имеют место лавинный пробой  $p$ — $n$ -перехода [2] и  $U_{b1}$  — напряжение пробоя. При градиенте  $dT/dx > 0$  (кривая 2) напряжение пробоя уменьшается до  $U_{b2}$ . При достаточно больших по абсолютной величине  $dT/dx < 0$  (кривые 3, 4) пробой исчезает.

Подчеркнем, что сильное изменение  $M_n$  под влиянием градиента температуры реализуется при относительно малом изменении величины  $\alpha_{n, p}$  в той части ОПЗ, где имеет место ударная ионизация. Так, при поле  $4 \cdot 10^5$  В/см и градиенте температуры 900 К/см  $\alpha_{n, p}$  изменяется не более чем на  $3 \cdot 10^{-2}\%$ . Изменение в таких условиях  $M_n$  обусловлено тем, что в (13) члены с  $dT/dx$ , т. е.  $\alpha_{v_{n, p}}$ , отличны от нуля во всей ОПЗ, а  $\alpha_{nE, pE}$  — только в той части ОПЗ, где  $|E|$  близко к  $|E_m|$ . Поэтому вклады компонент  $\alpha_{v_{n, p}}$  в интегралы (16) сравнимы с вкладом  $\alpha_{nE, pE}$  или больше их. Причем чем меньше  $N$  и поэтому длиннее ОПЗ, тем больше удельный вес вклада в интегралы членов с градиентом  $dT/dx$  и соответственно сильнее его влияние на  $M_n$ . Указанные результаты согласуются с результатами экспериментов [1] и сказанным в разделе 1 настоящей статьи.

Зависимости  $M_n$  от  $U$ , построенные для случая высокоомной  $n$ -области по формуле (20), показали, что зависимости  $M_n$  от  $\alpha_{n, p}$  сильнее, а значения  $U_b$  меньше, чем в случае высокоомной  $p$ -области. Вследствие этого  $dT/dx$  слабее влияет на  $M_n$ . Заметим, что в отличие от случая высокоомной  $p$ -области здесь при  $dT/dx > 0$   $M_n$  уменьшается, а при  $dT/dx < 0$  увеличивается.

## 5. Пробой в отсутствие ударной ионизации

Вычисления  $M_n$  и  $M_p$  при  $\alpha_{nE} = \alpha_{pE} = 0$  показали, что для кремния наиболее сильно от  $U$  зависит  $M_p$ , когда высокоомна  $n$ -область. В этом случае возможен неограниченный рост  $M_p$  при некотором  $U - U_b$  (пробой), несмотря на отсутствие ударной ионизации.

Если  $\alpha_{nE} - \alpha_{pE} = 0$ , то  $M_p$  зависит не порознь от  $N^{-1}$  и  $dT/dx$ , а от их произведения. Кривой 1 на рис. 2 показана зависимость максимального поля при пробое  $|E_{bm}| = (2U_b/K)^{1/2}$  от  $N^{-1}(dT/dx)$ . Ударная ионизация существенна в кремнии при  $|E| > 10^5$  В/см [2, 5], и из приведенной зависимости следует, что имеется значительный диапазон изменения  $N^{-1}(dT/dx)$ , где величина поля



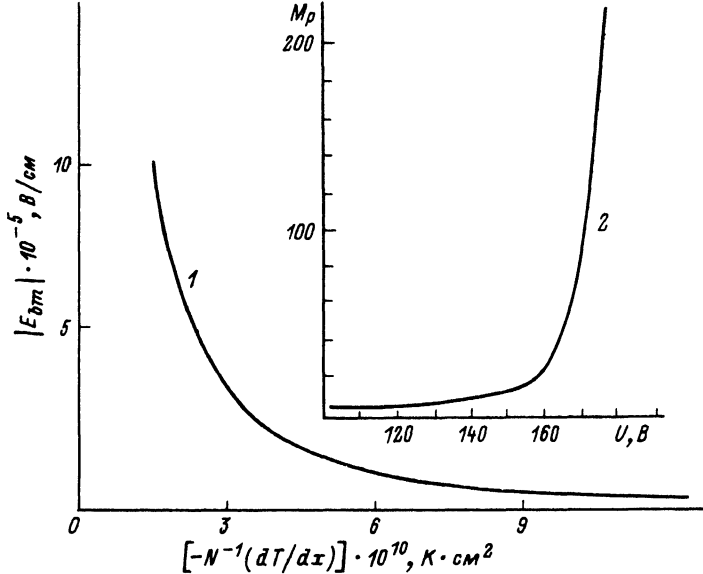


Рис. 2.

1 — зависимость  $|E_{bm}|$  от  $-N^{-1} (dT/dx)$ , 2 — зависимость  $M_p$  от  $U$  при  $-N^{-1} \cdot (dT/dx) = 1.2 \cdot 10^{-9} \text{ К} \cdot \text{см}^2$ .

$|E_{bm}|$  меньше указанного значения, и возможен пробой в отсутствие ударной ионизации. Кривой 2 на рис. 2 показана зависимость  $M_p$  от  $U$  для такого случая.

В заключение отметим, что эффекты, обусловленные рассмотренным механизмом возникновения пар, могут реализоваться в ОПЗ разных объектов, а не только  $p-n$ -переходов.

#### СПИСОК ЛИТЕРАТУРЫ

- [1] Добровольский В. Н., Романов А. В. // ФТП. 1992. Т. 26. В. 8. С. 1361—1365.
- [2] Грехов И. В., Сережкин Ю. Н. Лавинный пробой  $p-n$ -перехода в полупроводниках. Л., 1980. 151 с.
- [3] Добровольский В. Н., Павлюк С. П. // ФТП. 1977. Т. 11. В. 7. С. 1377—1380.
- [4] Добровольский В. Н., Павлюк С. П. // ФТП. 1981. Т. 15. В. 1. С. 120—127.
- [5] Зи С. Физика полупроводниковых приборов. Т. 1. М., 1984. 455 с.
- [6] Canali C., Ottaviani G., Alberigi Quaranta G. // Phys. Chem. Sol. 1971. V. 32. N 8. P. 1707—1720.

Киевский государственный университет  
им. Т. Г. Шевченко АН Украины

Получена 14.05.1992  
Принята к печати 10.07.1991